

徳山高尙  
徳山高尙  
山口大学

工藤 洋三  
橋本 堅一  
中川 浩二

## 1. まえがき

都市の再開発における解体工法や、人家の近くでの岩盤掘削工法において、静的破碎剤の使用が注目を集めている。このため破碎剤を用いた効率的な破碎設計法や施工法の確立が望まれているが、開発以来の歴史が浅いこともあって、膨張圧発現の機構やその他の力学的特性には未解明の部分が多いつか残されている。なかでも、コンクリートや岩盤中に実際に生じている膨張圧の測定は、破碎剤による岩質材料の破壊機構の解明や破碎設計法の確立という点から、最も基本的な事項であるにもかかわらず、一般的な測定法はいまだに定められていない。

膨張圧を測定する方法としては、1) 破碎剤の中に圧力測定用センサーなどを入れて測定する直接的方法、2) モニター用鋼管などを用いて測定する間接的方法の2種類に大別されるが、測定上多くの困難があり、一般的な測定方法の確立といふ点からすれば、適切な方法ではないようと思われる。そこで本研究では、モニター用鋼管を用いて岩質材料中に生じている膨張圧を間接的に測定する方法をとりあげ、この測定方法を用いる場合の問題点について検討を加えるものである。

モニター用鋼管を用いて膨張圧を測定する場合、考慮すべきパラメーターとして、温度、水比、破碎剤スラリーの体積、孔径、各媒体間の熱伝達率などが考えられる。これらの中でも、孔径や各媒体間の熱伝達率が膨張圧に影響を及ぼすということになれば膨張圧のモニタリングは極めて困難なものになる可能性がある。またこれらのパラメータ間に、たとえば、破碎剤スラリーの体積が増えれば温度が上昇し、さらに発熱による蒸発などによ、て水比が低下するとい、たように、相互依存関係にあるものもある。また実際の施工の場合のように破碎剤から直接岩質材料中に熱伝達が行なわれる場合と、鋼管を用いた場合のように、破碎剤から鋼管さらに空気中または液体中へとい、た場合に熱伝達が行なわれる場合では膨張圧の発現が変化する可能性もある。さらにコンクリートなどを含めて、多孔質材料中においては、水分子の材料中の浸透による水比の低下なども考慮する必要があると考えられる。

## 2. モニター用鋼管による膨張圧の評価

最初に、以上述べてきたパラメーターすべて固定した場合に、破碎剤による膨張圧のよろな固体圧などのように評価すべきかという点について考える。このため長さ 50 cm の高温配管用炭素鋼钢管（スケジュール 80）を用意し、油圧によって钢管内に膨張圧を発

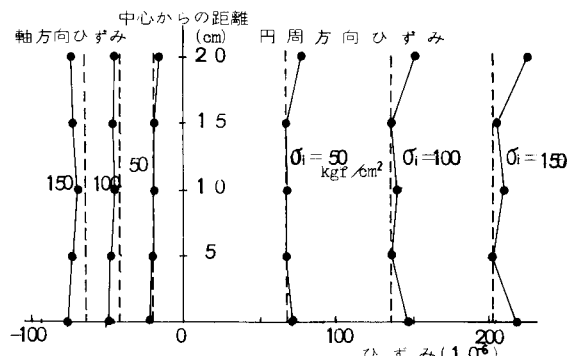


図1 油圧による钢管表面のひずみ

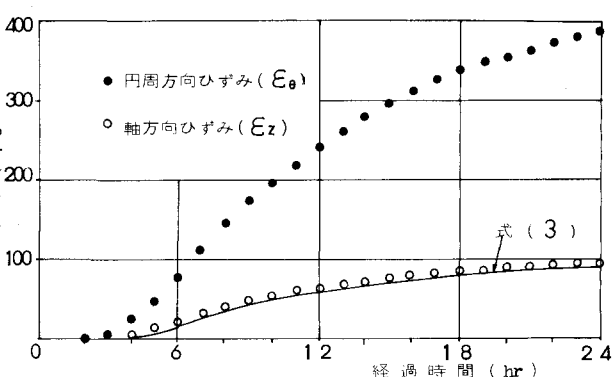


図2 破碎剤による钢管表面のひずみの経時変化

生させる。このとき鋼管の軸方向ひずみ  $\varepsilon_\theta$  と軸方向ひずみ  $\varepsilon_z$  を測定した。測定結果を図1に示す。鋼管の内径および外径はそれぞれ、 $25.0\text{ mm}$ ,  $34.0\text{ mm}$  であり、図中のは膨張圧で、破線は厚肉円筒理論において、平面応力状態を仮定した場合の各膨張圧に対するひずみの計算値である。図より、油圧を用いた場合のひずみ分布は、平面応力状態の解によく対応していることがわかる。次に同じ鋼管に破碎剤を充填し、このときの円周方向ひずみと軸方向ひずみの経時変化を図2に示す。これによれば、軸方向には、油圧を用いた場合は逆に引張ひずみが生じている。これは、破碎剤と鋼管表面の摩擦などによって、鋼管が軸方向にも引張られるためと考えらる。そこで、破碎剤の膨張圧によって鋼管表面に生ずるひずみを、平面応力状態での厚肉円筒理論によるひずみの解と、軸方向単純引張状態のひずみの解を重ね合せたものと考え、破碎剤中の軸方向引張応力度が膨張圧の大きさに等しいと仮定すれば、

$$\varepsilon_\theta = \frac{2-\nu}{E} \frac{a^2 \sigma_i}{(b^2-a^2)} \quad \dots (1)$$

$$\varepsilon_z = \frac{(1-2\nu)}{E} \frac{a^2 \sigma_i}{b^2-a^2} \quad \dots (2)$$

となる。ここに、 $a$ ,  $b$ ,  $E$ ,  $\nu$  はそれぞれ、内径、外径、弾性係数、ポアソン比である。ここで  $\nu=0.3$  とおけば、 $\varepsilon_z = 0.236 \varepsilon_\theta$  … (3) となる。式(3)に測定された  $\varepsilon_\theta$  の値を代入して  $\varepsilon_z$  を求め、結果を図2の実線で示す。これより、上述した仮定によて  $\varepsilon_z$  の挙動がうまく説明されていることが認められる。さらに式(1)より、 $\sigma_i = 1.176 E \cdot ((b/a)^2 - 1)^{1/2}$  … (4) となり、膨張圧は、円周方向のひずみのみを考慮した厚肉円筒理論より得られた値を約 18 % 増じにすればよいことがわかる。

### 3. 孔径の影響

膨張圧に与える孔径の影響を調べるために、長さ  $50\text{ cm}$  の前と同種類の鋼管の一端を鋼板に溶接し、径の異なる3種類の鋼管について、破碎剤充填後の円周方向ひずみの変化を測定した。さらに鋼管側面に小孔を設けて孔内に熱電対を設置し、破碎剤中の温度の経時変化を求めた。鋼管は、内径がそれぞれ、 $14.3\text{ mm}$ ,  $19.4\text{ mm}$ ,  $25.0\text{ mm}$  で外径がそれぞれ、 $21.7\text{ mm}$ ,  $27.2\text{ mm}$ ,  $34.0\text{ mm}$  である。温度の測定結果を図3に示す。これによれば、室温を一定に保ても破碎剤中の温度は、かなり長時間にわたって室温を上回っていることがある。さらに孔径の大きなものはほど室温との温度差も大きいことが認められる。膨張圧の経時変化を図4に示す。膨張圧は、孔径の大きいものほど早く立ち上がりいるが、最終的な膨張圧は小さくなる。実際の岩盤材料中の熱伝導は、鋼管の場合よりもすみやかに行なわれるため、膨張圧のモニタリングに当ては、温度の経時変化が岩盤材料中の経時変化に類似のもの、すなわち比較的小孔径の鋼管を使用すべきであろう。

謝辞 本研究を遂行するに当たり、小野田セメント社よりブライスター-150 の提供を受けた。また徳山高専卒研究生西田剛君(現勝井建設)には実験およびデータ整理に多大なる協力をいただいた。

記して謝意を表します。

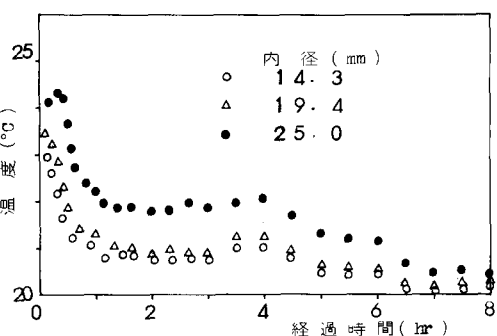


図3 破碎剤中の温度の経時変化

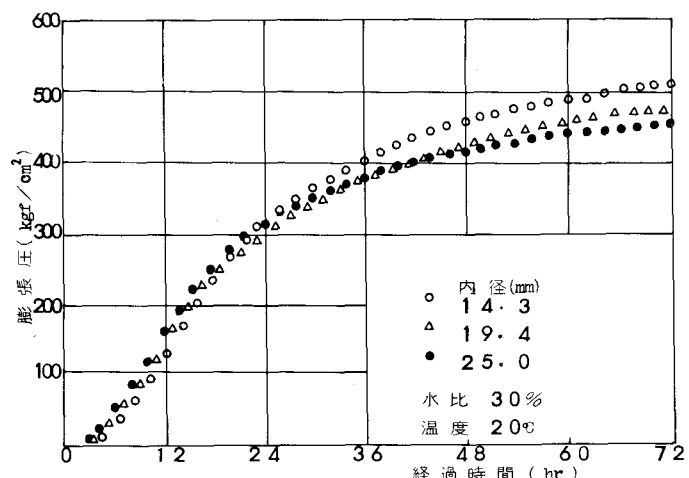


図4 膨張圧の経時変化